

УДК 536.719:546.65:54-386:54-162.2

**СТРОЕНИЕ КООРДИНАЦИОННЫХ ПОЛИМЕРОВ
 $\text{Cs}_5[\{\text{Ln}(\text{H}_2\text{O})_4(\text{C}_2\text{H}_6\text{O})\}\{\text{Re}_6\text{Se}_8(\text{CN})_6\}_2]\cdot 2\text{H}_2\text{O}$ ($\text{Ln} = \text{La}, \text{Nd}$)**

М.С. Тарасенко¹, Н.Г. Наумов^{1,2}, Н.В. Курачева^{1,2}

¹Институт неорганической химии им. А.В. Николаева СО РАН, Новосибирск, Россия

E-mail: tarasen@niic.nsc.ru

²Новосибирский национальный исследовательский государственный университет, Россия

Статья поступила 27 июня 2014 г.

Взаимодействием водных растворов $\text{Cs}_3\text{KRe}_6\text{S}_8(\text{CN})_6$ и LnCl_3 в присутствии этанола получены два новых соединения $\text{Cs}_5[\{\text{Ln}(\text{H}_2\text{O})_4(\text{C}_2\text{H}_6\text{O})\}\{\text{Re}_6\text{Se}_8(\text{CN})_6\}_2]\cdot 2\text{H}_2\text{O}$ ($\text{Ln} = \text{La}, \text{Nd}$). Соединения изоструктурны, кристаллизуются в тетрагональной сингонии (пр. гр. $P4/ncc$) с параметрами элементарной ячейки $a = 17,9102$, $c = 19,6694 \text{ \AA}$ для **La** и $a = 17,8846$, $c = 19,6425 \text{ \AA}$ для **Nd**. Структура соединений представляет собой гофрированные слои $[\{\text{Ln}(\text{H}_2\text{O})_4(\text{C}_2\text{H}_6\text{O})\}\{\text{Re}_6\text{Se}_8(\text{CN})_6\}_2]^5^-$. Катионы цезия, компенсирующие отрицательный заряд, расположены как в полостях гофрированного слоя, так и между слоями.

DOI: 10.15372/JSC20150618

Ключевые слова: рений, октаэдрический кластер, РЗЭ, синтез, комплексные соединения, кристаллическая структура.

ВВЕДЕНИЕ

Химия кластерных октаэдрических цианидных комплексов рения $[\text{Re}_6\text{Q}_8(\text{CN})_6]^{4-3-}$ ($\text{Q} = \text{S}, \text{Se}, \text{Te}$) активно развивается в последние десятилетия [1, 2]. Координационная способность атомов азота цианогрупп широко используется для получения координационных полимеров, содержащих мостики $\text{Re}-\text{C}\equiv\text{N}-\text{M}$ [3—5]. Тип структуры зависит в основном от количества цианогрупп кластерного аниона, участвующих в координации к катионам металла, а также от количества цианидных лигандов в координационном окружении катиона.

Хорошо известно, что кристаллохимия $4f$ - и $3d$ -переходных металлов сильно отличается в связи с большими ионными радиусами, большими координационными числами и стереохимической гибкостью лигандного окружения, что приводит к кристаллизации других структурных типов координационных полимеров [6—13].

Как правило, из водных растворов солей Ln^{3+} и солей кластерных анионов образуются плотноупакованные каркасы [6, 7, 9, 10]. Добавление к реакционной смеси избытка полиатомных спиртов — глицерина, эритрола (бутан-1,2R,3S,4-тетраол) — приводит к образованию соединений, где катионная часть представлена комплексом с зарядом $4+$, включающим два катиона лантанида и два мостиковых алкоголят-аниона $[\text{Ln}_2(\text{C}_3\text{H}_6\text{O}_3)_2(\text{C}_3\text{H}_7\text{O}_3)_4]^{4+}$ ($\text{Ln} = \text{La}, \text{Nd}, \text{Gd}$) [12], $[\text{Yb}_2(\text{C}_4\text{H}_9\text{O}_4)_2(\text{H}_2\text{O})_2]^{4+}$ и $[\text{Tb}_2(\text{C}_4\text{H}_9\text{O}_4)_2(\text{C}_4\text{H}_{10}\text{O}_4)]^{4+}$ [13].

В настоящей работе сообщается о синтезе и строении соединений $\text{Cs}_5[\{\text{Ln}(\text{H}_2\text{O})_4(\text{C}_2\text{H}_6\text{O})\} \times \{\text{Re}_6\text{Se}_8(\text{CN})_6\}_2]\cdot 2\text{H}_2\text{O}$ ($\text{Ln} = \text{La}, \text{Nd}$), образующихся в присутствии моноатомного спирта — этанола.

Кристаллоструктурные данные и детали РСА

Параметр	I	II
Формула	$C_{14}H_{18}Cs_5LaN_{12}O_7Re_{12}Se_{16}$	$C_{14}H_{18}Cs_5N_{12}NdO_7Re_{12}Se_{16}$
M , г/моль	4767,62	4772,95
Сингония	Тетрагональная	Тетрагональная
Простр. группа	$P4/ncc$	$P4/ncc$
a, b, c , Å	17,9102(4), 17,9102(4), 19,6694(10)	17,8846(5), 17,8846(5), 19,6425(11)
V , Å ³	6309,5(4)	6282,8(4)
Z	4	4
$\rho_{\text{выч}}$, г/см ³	5,019	5,046
Коэффициент абсорбции, мм ⁻¹	35,686	35,983
$F(000)$	8072	8084
Размер кристалла, мм	0,14×0,08×0,03	0,12×0,09×0,04
Число измер. / независ. отражений	44605 / 3490	36835 / 3872
R_{int}	0,0501	0,0643
T_{\min} / T_{\max}	0,4140 / 0,0822	0,3271 / 0,0986
Число независимых параметров	169	162
$R (I > 2\sigma(I))$	$R1 0,0203, wR2 0,0461$	$R1 0,0279, wR2 0,0586$
R (все F_{hkl})	$R1 0,0286, wR2 0,0482$	$R1 0,0402, wR2 0,0612$
GOOF	1,055	1,029

ЭКСПЕРИМЕНТАЛЬНАЯ ЧАСТЬ

Соль $KCs_3Re_6Se_8(CN)_6$ получена по методике, описанной в [14]. Соли $LaCl_3 \cdot 6H_2O$ и $NdCl_3 \cdot 6H_2O$ и этанол использовались марки ХЧ без дополнительной очистки.

Синтез $Cs_5[\{La(H_2O)_4(C_2H_6O)\}\{Re_6Se_8(CN)_6\}_2] \cdot 2H_2O$ (I). $KCs_3Re_6Se_8(CN)_6$ 60 мг (0,026 ммоль) и $LaCl_3 \cdot 6H_2O$ 51 мг (0,14 ммоль) растворили в 2 мл воды, емкость с водным раствором поставили в другую с этанолом для медленной диффузии этанола через газовую фазу и плотно закрыли. Через 4 дня образовались крупные кристаллы. Выход 49 мг (80,6 %).

Синтез $Cs_5[\{Nd(H_2O)_4(C_2H_6O)\}\{Re_6Se_8(CN)_6\}_2] \cdot 2H_2O$ (II). $KCs_3Re_6Se_8(CN)_6$ 70 мг (0,030 ммоль) и $NdCl_3 \cdot 6H_2O$ 75 мг (0,209 ммоль) растворили в 2 мл воды, емкость с водным раствором поставили в другую с этанолом для медленной диффузии этанола через газовую фазу и плотно закрыли. Через 4 дня образовались крупные кристаллы. Выход 60 мг (84,5 %).

Рентгеноструктурный анализ. Кристаллоструктурные данные и детали эксперимента приведены в таблице. Значения интенсивности отражений измерены на автоматическом дифрактометре *Buker-Nonius X8 Apex* с детектором 4K CCD при комнатной температуре с использованием излучения MoK_α ($\lambda = 0,71073$ Å), графитовый монохроматор [15]. Поглощение учтено эмпирически по программе SADABS [16]. Структуры расшифрованы прямым методом и уточнены полноматричным МНК по программе SHELXS-97/SHELXL-97 [17]. Атомы водорода молекул воды и спирта локализовать не удалось. Полные структурные данные депонированы в Cambridge Structural Database (CCDC 1006626, CCDC 1006627), а также могут быть получены у авторов.

ОБСУЖДЕНИЕ РЕЗУЛЬТАТОВ

Соединения I и II изоструктурны и кристаллизуются в тетрагональной сингонии (пр. гр. $P4/ncc$). Их строение рассмотрено на примере соединения с La (I). Независимая часть структуры содержит три атома рения, четыре атома селена (половину кластерного ядра), один атом лантана и два атома цезия. Центр кластерного ядра лежит в частной позиции $8d$, атомы La1, C5

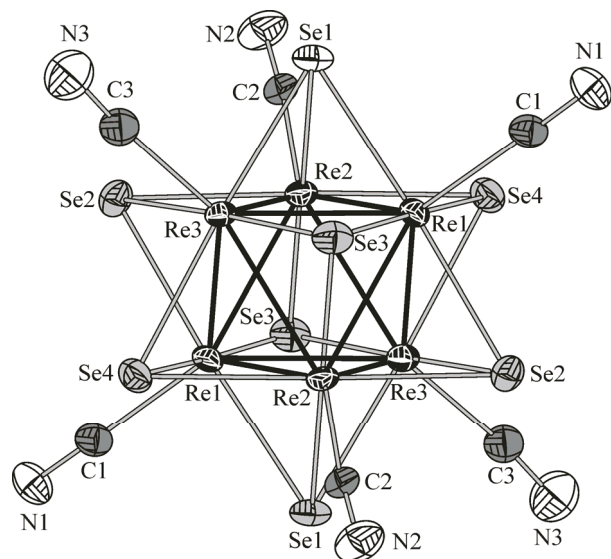


Рис. 1. Строение кластерного аниона $\text{Re}_6\text{Se}_8(\text{CN})_6^{4-}$ в тепловых эллипсоидах 50%-й вероятности

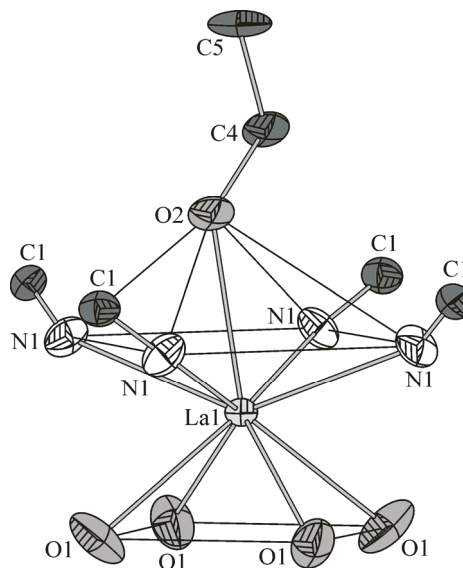


Рис. 2. Строение катионного комплекса La^{3+} в тепловых эллипсоидах 50%-й вероятности, атомы водорода не показаны

в позициях 4c, атом Cs2 в позиции 4b, атомы O3A, O3B в позиции 8f. Остальные атомы расположены в общих позициях. Строение кластерного аниона показано на рис. 1, средние межатомные расстояния составляют для I: Re—Re 2,632(5), Re—Se 2,525(7), Re—C 2,100(9), C—N 1,145(4) Å; для II Re—Re 2,633(5), Re—Se 2,525(7), Re—C 2,092(11), C—N 1,155(4) Å и близки к расстояниям, найденным в других соединениях, содержащих такой анион [14, 18, 19].

Координационное окружение лантана — одношапочная тетрагональная антипризма (КЧ 9), образованная четырьмя атомами азота цианогрупп четырех соседних кластерных анионов и пятью атомами кислорода молекул воды и спирта (рис. 2). Расстояния составляют: La1—O1 2,591(5), La1—O2 2,616(15), La1—N1 2,647(5) Å; Nd1—O1 2,539(6), Nd1—O2 2,545(15), Nd1—N1 2,575(7) Å. Координационное окружение лантана имеет симметрию C_4 , поэтому молекула этанола (O2 и C4) разупорядочена по четырем позициям с заселенностью 0,25. Расстояния в этаноле составляют O2—C4 1,36(4) и C4—C5 1,52(3) Å для I и O2—C4 1,22(3) и C4—C5 1,52(4) Å для II.

Соединение имеет слоистое строение, слои располагаются в плоскости bc. Каждый кластерный анион парой транс-цианогрупп координирует два катиона лантана (рис. 3). В координационную сферу каждого катиона лантана входят четыре атома азота цианогрупп четырех соседних кластерных анионов, образуя квадратное основание координационного полизэдра (см. рис. 2 и 3). Таким образом, слой получается гофрированным, а катионы выступают из плоскости, проведенной через центры кластерных анионов (рис. 4); молекула спирта направлена внутрь слоя. При такой координации на каждый катион лантана приходятся два кластерных аниона, при этом заряд координационного слоя $[\{\text{La}(\text{H}_2\text{O})_4(\text{C}_2\text{H}_6\text{O})\}\{\text{Re}_6\text{Se}_8(\text{CN})_6\}]_{\infty}$ равен -5.

Катионы цезия, компенсирующие отрицательный заряд слоя, расположены между слоями (Cs1) и внутри гофрированного слоя (Cs2) (см. рис. 4). Атомы Cs1 расположены между отрицательно заряженными слоями и их координационное окружение образовано нуклеофильными атомами Se, N и O.

Ближайшее окружение Cs2 образовано четырьмя атомами азота цианогрупп четырех различных кластерных анионов (межатомное расстояние Cs2—N3 составляет 3,342(7) Å для I и 3,334(9) Å для II) и четырьмя атомами селена четырех различных кластерных анионов (межатомное расстояние Cs2—Se4 3,8823(8) Å для I и 3,8876(7) Å для II). В соединении присутствуют две молекулы кристаллизационной воды, расположенные между координационными сетка-

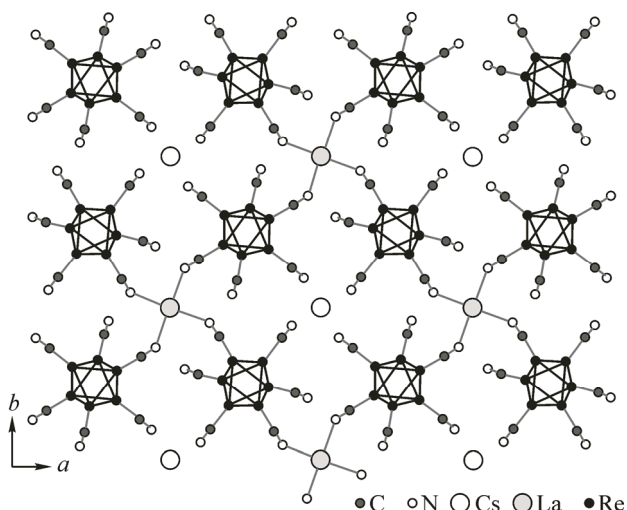


Рис. 3. Строение анионного слоя $[\{ (La(H_2O)_4(C_2H_6O)} \{ Re_6Se_8(CN)_6 \} _2]^{5-}$.

Атомы селена, кислорода, водорода, Cs1 и молекулы спирта не показаны

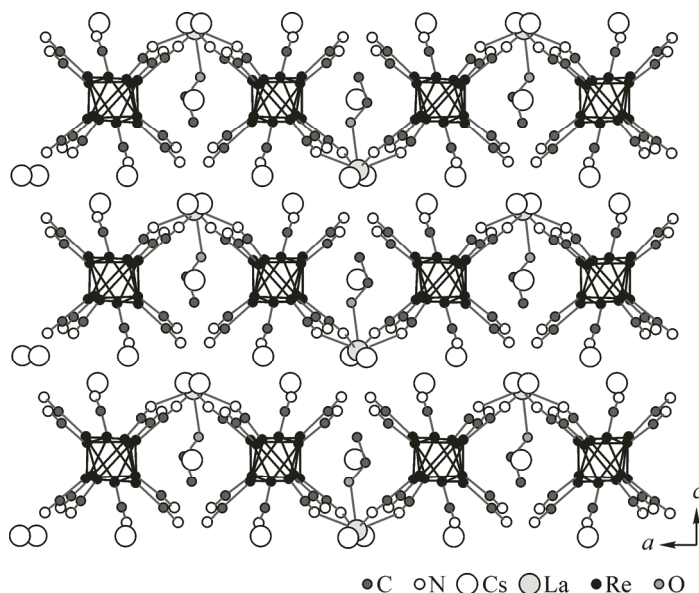


Рис. 4. Упаковка слоев в соединении.
Атомы селена, кислорода молекул воды и водорода не показаны

ми и разупорядоченные по трем позициям с разной заселенностью (O3A с заселенностью 0,5, O3B с заселенностью 0,25 и O3C с заселенностью 0,125). Расстояния до ближайших электроотрицательных атомов составляют N3—O3A 3,119 Å и N3—O3C 2,864 Å, что позволяет говорить о наличии водородных связей.

Изучение взаимодействия солей кластерных анионов с солями лантанидов показывает, что из водных растворов кристаллизуются соединения со стехиометрией Ln^{3+} : кластерный анион=1 : 1 (даже при избытке соли лантанидов в реакционной смеси). Такое соотношение может реализоваться либо благодаря одноэлектронному окислению кластерного ядра [6, 7, 9], либо за счет протонирования цианогрупп в кислой среде [10]. В каркасных структурах этих соединений варьируется число мостиков Re—CN—Ln, приходящихся на кластерный анион: шесть [6], пять [9] или четыре [7, 10]. Также было показано, что включение катиона цезия в структуру,

содержащую теллуридный кластерный анион и катион лантанида, привело к получению слоистых соединений, катионы цезия располагаются и между слоями, и внутри слоя [8].

Для получения кластерных соединений с меньшим числом цианомостиков, приходящихся на кластерный анион, было исследовано взаимодействие растворов солей катионов РЗЭ и кластерных анионных комплексов в присутствии полидентатных лигандов. Полидентатные лиганты, занимая два и более координационных места, ограничивают координационные возможности катионов переходного металла, что приводит к образованию низкоразмерных структур или ионных соединений с крупным катионом [11—13].

В настоящей работе показано, что использование одноатомного спирта — этанола в качестве лиганда и образование двойной соли с цезием также приводит к понижению числа мостиков Re—CN—Ln, приходящихся на каждый кластерный анион, и образованию необычной сетки $\{\text{Ln}(\text{H}_2\text{O})_4(\text{C}_2\text{H}_6\text{O})\}\{\text{Re}_6\text{Se}_8(\text{CN})_6\}_2^{5-}$.

Работа выполнена при поддержке Международной Ассоциированной Лаборатории (LIA CLUSOM). Работа также поддержана проектом IDEMAT в рамках Франко-Сибирского центра обучения и исследований.

СПИСОК ЛИТЕРАТУРЫ

1. Федоров В.Е., Наумов Н.Г., Миронов Ю.В. и др. // Журн. структур. химии. – 2002. – **43**, № 4. – С. 721.
2. Федоров В.Е., Миронов Ю.В., Наумов Н.Г. и др. // Успехи химии. – 2007. – **76**, № 6. – С. 571.
3. Naumov N.G., Artemkina S.B., Virovets A.V. et al. // J. Solid State Chem. – 2000. – **153**, N 2. – P. 195.
4. Artemkina S.B., Naumov N.G., Virovets A.V. et al. // Eur. J. Inorg. Chem. – 2002. – N 5. – P. 1198.
5. Beauvais L.G., Shores M.P., Long J.R. // Chem. Mater. – 1998. – **10**, N 12. – P. 3783.
6. Artemkina S.B., Naumov N.G., Virovets A.V. et al. // Eur. J. Inorg. Chem. – 2005. – N 1. – P. 142.
7. Tarasenko M.S., Naumov N.G., Naumov D.Y. et al. // Polyhedron. – 2008. – **27**, N 11. – P. 2357.
8. Таракенко М.С., Наумов Н.Г., Вировец А.В. и др. // Журн. структур. химии. – 2008. – **49**, № 6. – С. 1167.
9. Таракенко М.С., Наумов Н.Г., Вировец А.В. и др. // Журн. структур. химии. – 2005. – **46**, Приложение. – С. S134.
10. Tarasenko M.S., Golenkov E.O., Naumov N.G. et al. // Chem. Comm. – 2009. – N 19. – P. 2655.
11. Таракенко М.С., Наумов Н.Г., Наумов Д.Ю. и др. // Координац. химия. – 2006. – **32**, № 7. – С. 517.
12. Naumov N.G., Tarasenko M.S., Virovets A.V. et al. // Eur. J. Inorg. Chem. – 2006. – N 2. – P. 298.
13. Таракенко М.С., Леднева А.Ю., Наумов Д.Ю. и др. // Журн. структур. химии. – 2011. – **52**, № 1. – С. 176.
14. Tarasenko M.S., Ledneva A.Y., Naumov N.G. et al. // J. Clust. Sci. – 2005. – **16**, N 3. – P. 353.
15. Bruker AXS Inc. (2004). APEX2 (Version 1.08), SAINT (Version 7.03). Bruker Advanced X-ray Solutions, Madison, Wisconsin, USA.
16. Bruker AXS Inc. (2004). SADABS (Version 2.11). Bruker Advanced X-ray Solutions, Madison, Wisconsin, USA.
17. Bruker AXS Inc. (2004). SHELXTL (Version 6.12). Bruker Advanced X-ray Solutions, Madison, Wisconsin, USA.
18. Long J.R., McCarty L.S., Holm R.H. // J. Am. Chem. Soc. – 1996. – **118**, N 19. – P. 4603.
19. Наумов Н.Г., Вировец А.В., Подберезская Н.В. и др. // Журн. структур. химии. – 1997. – **38**. – С. 1018.